

# Funkcijų aproksimavimas: *Furje metodas*

# Temoje aiškinama:

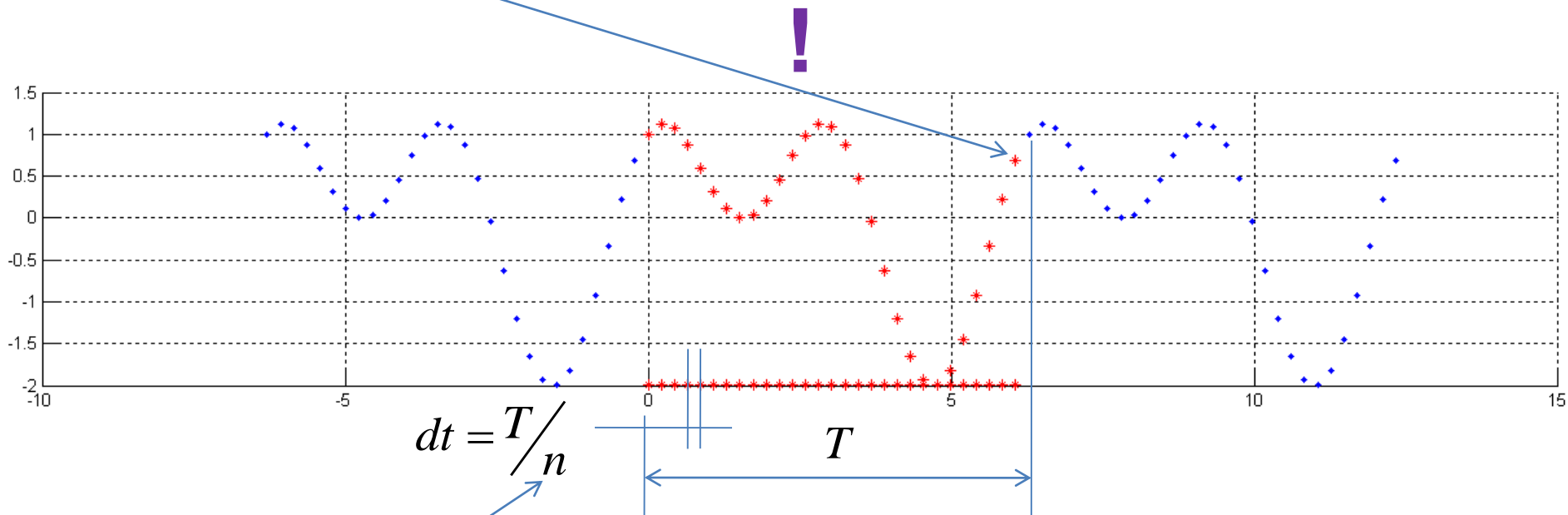
- **Periodinės taškų sekos aproksimavimo uždavinys;**
- Trigonometrinės bazinės funkcijos ir jų ortogonalumas;
- **Diskrečiosios Furje aproksimacijos (DFT) koeficientų apskaičiavimas;**
- Signalo atkūrimas pagal Furje harmonikas ir jo filtravimas pagal amplitudę ir/arba dažnį;
- **DFT apibendrinimai;**
- MATLAB ir Python funkcijos DFT apskaičiavimui sparčiuoju (FFT) algoritmu

# **Periodinės taškų sekos aproksimavimo uždavinys**

# Aproksimavimas trigonometriniais daugianariais

## *Diskrečioji Furje aproksimacija*

- Taškų seka, kurią reikia aproksimuoti, yra periodinė;
- Intervalai tarp taškų yra vienodi,
- Paskutinis duotas periodo taškas yra per vieną intervalą nuo periodo pabaigos



$n$  – duotų taškų ir tuo pačiu periodo dalijimo intervalų skaičius

$$(t_i, y_i), \quad i = 0, 1, \dots, n-1$$

# Trigonometrinės bazinės funkcijos ir jų ortogonalumas

# Trigonometrinės bazinės funkcijos

$$(t_i, y_i), \quad i = 0, 1, \dots, n-1$$

Funkcija aproksimuojama  
trigonometrinio daugianariu

$$y(t) = \left[ 1 \quad \cos \frac{2\pi t}{T} \quad \cos 2 \frac{2\pi t}{T} \quad \dots \quad \cos(m-1) \frac{2\pi t}{T} \quad \sin \frac{2\pi t}{T} \quad \sin 2 \frac{2\pi t}{T} \quad \dots \quad \sin(m-1) \frac{2\pi t}{T} \right] \begin{Bmatrix} a_0 \\ a_1 \\ a_2 \\ \vdots \\ a_{m-1} \\ b_1 \\ b_2 \\ \vdots \\ b_{m-1} \end{Bmatrix}$$

↑  
Bazinės funkcijos

↑  
koeficientai

Aukščiausias dažnis yra parenkamas  
laisvai. Nuo jo bendruoju atveju  
priklauso aproksimavimo tikslumas,  
tačiau didžiausią galimą reikšmę  
riboja duotų taškų skaičius:

$$2(m-1)+1 \leq n; \quad m \leq \frac{n+1}{2}$$

$$T \quad [s]$$

Periodas

$$\frac{2\pi}{T} \quad [rad/s]$$

Kampinis dažnis

$$\frac{1}{T} \quad [1/s] \equiv [Hz]$$

Dažnis

# Trigonometrinių bazinių funkcijų ortogonalumas sumavimo atžvilgiu:

$$(t_i, y_i), \quad i = 0, 1, \dots, n-1$$

$$\begin{bmatrix} 1 & \cos \frac{2\pi t}{T} & \cos 2 \frac{2\pi t}{T} & \dots & \cos(m-1) \frac{2\pi t}{T} & \sin \frac{2\pi t}{T} & \sin 2 \frac{2\pi t}{T} & \dots & \sin(m-1) \frac{2\pi t}{T} \end{bmatrix}$$

$$\sum_{i=0}^{n-1} \cos\left(k \frac{2\pi t_i}{T}\right) \cos\left(l \frac{2\pi t_i}{T}\right) = 0;$$

$$\sum_{i=0}^{n-1} \sin\left(k \frac{2\pi t_i}{T}\right) \sin\left(l \frac{2\pi t_i}{T}\right) = 0;$$

$$\sum_{i=0}^{n-1} \cos\left(k \frac{2\pi t_i}{T}\right) \sin\left(l \frac{2\pi t_i}{T}\right) = 0;$$

$$k, l = 0 : m-1, \quad k \neq l$$

$$\sum_{i=0}^{n-1} \cos^2\left(k \frac{2\pi t_i}{T}\right) = \frac{n}{2};$$

$$\sum_{i=0}^{n-1} \sin^2\left(k \frac{2\pi t_i}{T}\right) = \frac{n}{2};$$

$$k = 1 : m-1$$

$$\sum_{i=0}^{n-1} \cos^2\left(0 \frac{2\pi t_i}{T}\right) = n;$$

Lygybės galioja, esant bet kokiam vieno funkcijos periodo intervale duotų taškų skaičiui  $n$

# **Diskrečiosios Furje aproksimacijos koeficientų apskaičiavimas**



# Mažiausių kvadratų metodo lygčių sistemos matrica

$$(t_i, y_i), \quad i = 0, 1, \dots, n-1$$

$$[\mathbf{G}]^T [\mathbf{G}] \{\mathbf{c}\} = [\mathbf{G}]^T \{\mathbf{y}\}$$

$$[\mathbf{G}]^T [\mathbf{G}] = \begin{bmatrix} 1 & 1 & \dots & 1 \\ 1 & \cos \frac{2\pi t_1}{T} & \dots & \cos \frac{2\pi t_{n-1}}{T} \\ 1 & \cos 2 \frac{2\pi t_1}{T} & \dots & \cos 2 \frac{2\pi t_{n-1}}{T} \\ \vdots & \vdots & \ddots & \vdots \\ 1 & \cos(m-1) \frac{2\pi t_1}{T} & \dots & \cos(m-1) \frac{2\pi t_{n-1}}{T} \\ 0 & \sin \frac{2\pi t_1}{T} & \dots & \sin \frac{2\pi t_{n-1}}{T} \\ 0 & \sin 2 \frac{2\pi t_1}{T} & \dots & \sin 2 \frac{2\pi t_{n-1}}{T} \\ \vdots & \vdots & \ddots & \vdots \\ 0 & \sin(m-1) \frac{2\pi t_1}{T} & \dots & \sin(m-1) \frac{2\pi t_{n-1}}{T} \end{bmatrix}$$

$$= \begin{bmatrix} 1 & 1 & \dots & 1 & 0 & 0 & \dots & 0 \\ 1 & \cos \frac{2\pi t_1}{T} & \dots & \cos(m-1) \frac{2\pi t_1}{T} & \sin \frac{2\pi t_1}{T} & \sin 2 \frac{2\pi t_1}{T} & \dots & \sin(m-1) \frac{2\pi t_1}{T} \\ \vdots & \vdots & \ddots & \vdots & \vdots & \vdots & \ddots & \vdots \\ 1 & \cos \frac{2\pi t_{n-1}}{T} & \dots & \cos(m-1) \frac{2\pi t_{n-1}}{T} & \sin \frac{2\pi t_{n-1}}{T} & \sin 2 \frac{2\pi t_{n-1}}{T} & \dots & \sin(m-1) \frac{2\pi t_{n-1}}{T} \end{bmatrix}$$

Diagram illustrating the structure of the matrix  $[\mathbf{G}]^T [\mathbf{G}]$  and its resulting form. The matrix is partitioned into blocks corresponding to the basis functions. The resulting matrix is shown as a block matrix with diagonal elements  $n$  and  $n/2$ , and off-diagonal elements  $0$ .

$$= \begin{bmatrix} n & 0 & 0 & 0 \\ 0 & n/2 & 0 & 0 \\ 0 & 0 & \ddots & 0 \\ 0 & 0 & 0 & n/2 \end{bmatrix}_{(2m-1) \times (2m-1)}$$

Bazinės funkcijos yra ortogonalios sumavimo atžvilgiu, todėl sistemos matrica gaunama įstrižaininė

# Mažiausių kvadratų metodo lygčių sistemos laisvųjų narių vektorius

$$(t_i, y_i), \quad i = 0, 1, \dots, n-1$$

$$[\mathbf{G}]^T [\mathbf{G}] \{\mathbf{c}\} = [\mathbf{G}]^T \{\mathbf{y}\}$$

$$[\mathbf{G}]^T [\mathbf{G}] = \begin{bmatrix} n & 0 & 0 & 0 \\ 0 & n/2 & 0 & 0 \\ 0 & 0 & \ddots & 0 \\ 0 & 0 & 0 & n/2 \end{bmatrix}_{(2m-1) \times (2m-1)}$$

$$; \quad [\mathbf{G}]^T \{\mathbf{y}\} = \left\{ \begin{array}{c} \sum_{i=0}^{n-1} y_i \\ \sum_{i=0}^{n-1} \cos \frac{2\pi t_i}{T} y_i \\ \sum_{i=0}^{n-1} \cos 2 \frac{2\pi t_i}{T} y_i \\ \vdots \\ \sum_{i=0}^{n-1} \cos(m-1) \frac{2\pi t_i}{T} y_i \\ \sum_{i=0}^{n-1} \sin \frac{2\pi t_i}{T} y_i \\ \sum_{i=0}^{n-1} \sin 2 \frac{2\pi t_i}{T} y_i \\ \vdots \\ \sum_{i=0}^{n-1} \sin(m-1) \frac{2\pi t_i}{T} y_i \end{array} \right\}_{(2m-1) \times 1}$$

# Diskrečiosios Furje aprosimacijos koeficientai

$$(t_i, y_i), \quad i = 0, 1, \dots, n-1$$

$$\begin{aligned}
 [\mathbf{G}]^T [\mathbf{G}] \begin{Bmatrix} a_0 \\ a_1 \\ a_2 \\ \vdots \\ a_{m-1} \\ b_1 \\ b_2 \\ \vdots \\ b_{m-1} \end{Bmatrix} &= [\mathbf{G}]^T \{\mathbf{y}\} \\
 &\Rightarrow \begin{Bmatrix} a_0 \\ a_1 \\ a_2 \\ \vdots \\ a_{m-1} \\ b_1 \\ b_2 \\ \vdots \\ b_{m-1} \end{Bmatrix} = \begin{Bmatrix} \frac{1}{n} \sum_{i=0}^{n-1} y_i \\ \frac{2}{n} \sum_{i=0}^{n-1} \cos \frac{2\pi t_i}{T} y_i \\ \frac{2}{n} \sum_{i=0}^{n-1} \cos 2 \frac{2\pi t_i}{T} y_i \\ \vdots \\ \frac{2}{n} \sum_{i=0}^{n-1} \cos(m-1) \frac{2\pi t_i}{T} y_i \\ \frac{2}{n} \sum_{i=0}^{n-1} \sin \frac{2\pi t_i}{T} y_i \\ \frac{2}{n} \sum_{i=0}^{n-1} \sin 2 \frac{2\pi t_i}{T} y_i \\ \vdots \\ \frac{2}{n} \sum_{i=0}^{n-1} \sin(m-1) \frac{2\pi t_i}{T} y_i \end{Bmatrix}
 \end{aligned}$$

**Signalo atkūrimas pagal Furje  
harmonikas ir jo filtravimas pagal  
amplitudę ir/arba dažnį**

# Aproksimuotos funkcijos atkūrimas pagal Furje bazines funkcijas (harmonikas)

$$y(t) = \left[ 1 \quad \cos \frac{2\pi t}{T} \quad \cos 2 \frac{2\pi t}{T} \quad \dots \quad \cos(m-1) \frac{2\pi t}{T} \quad \sin \frac{2\pi t}{T} \quad \sin 2 \frac{2\pi t}{T} \quad \dots \quad \sin(m-1) \frac{2\pi t}{T} \right] \begin{Bmatrix} a_0 \\ a_1 \\ a_2 \\ \vdots \\ a_{m-1} \\ b_1 \\ b_2 \\ \vdots \\ b_{m-1} \end{Bmatrix} =$$

$$= a_0 + \sum_{k=1}^{m-1} A_k \cos \left( k \frac{2\pi t}{T} - \varphi_k \right)$$

pastovi dedamoji  
(nulinės harmonikos  
amplitudė)

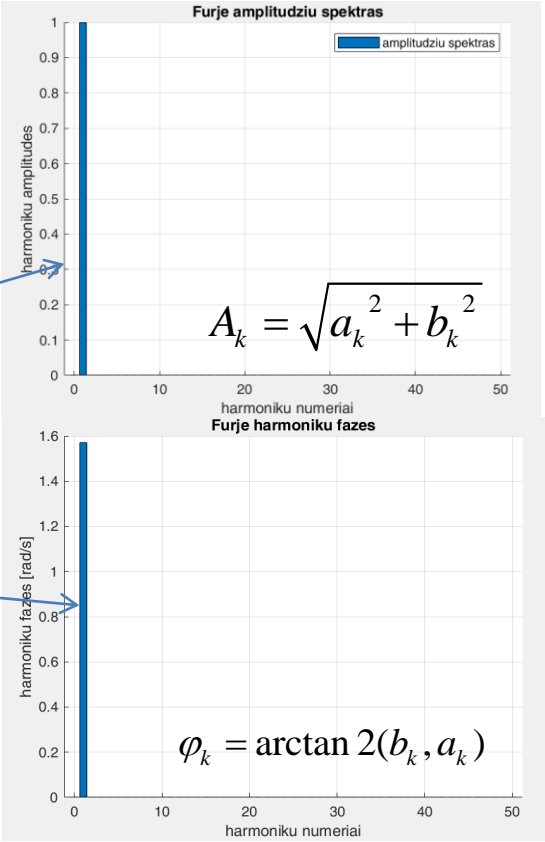
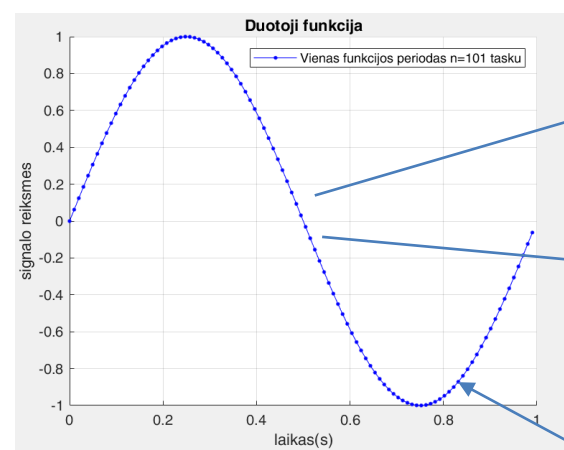
$$A_k = \sqrt{a_k^2 + b_k^2}; \quad \sin \varphi_k = b_k; \quad \cos \varphi_k = a_k; \quad \varphi_k = \arctan \left( \frac{b_k}{a_k} \right)$$

$$\varphi_k = \text{atan2}(b_k, a_k)$$

k harmonikos amplitudė

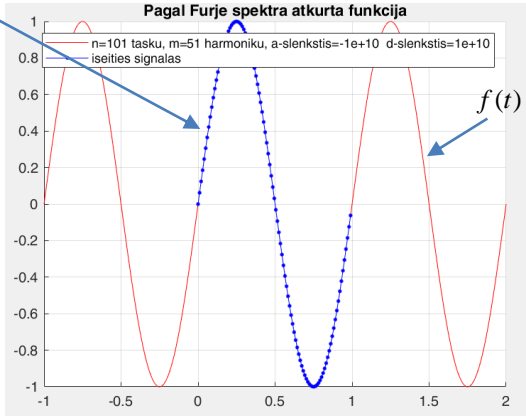
k harmonikos fazė

Duota taškų seka, vienas periodas, n=100



Furje aproksimacija, priklausomybė nuo laiko, m=11

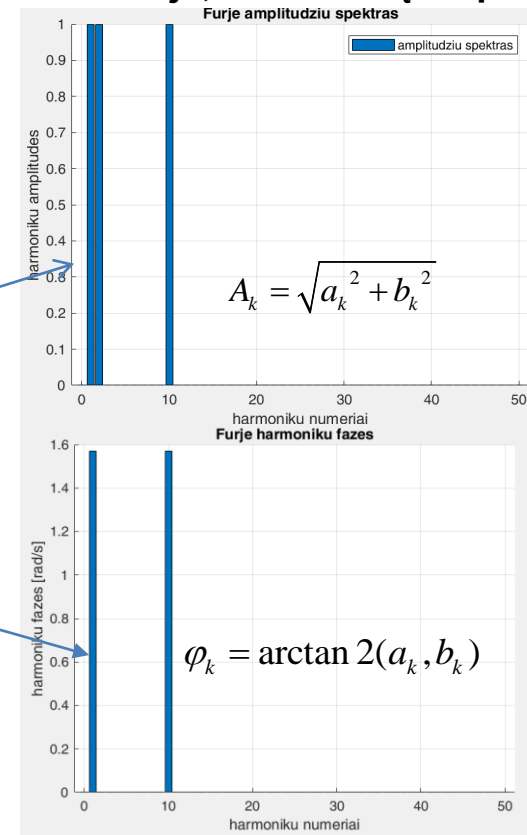
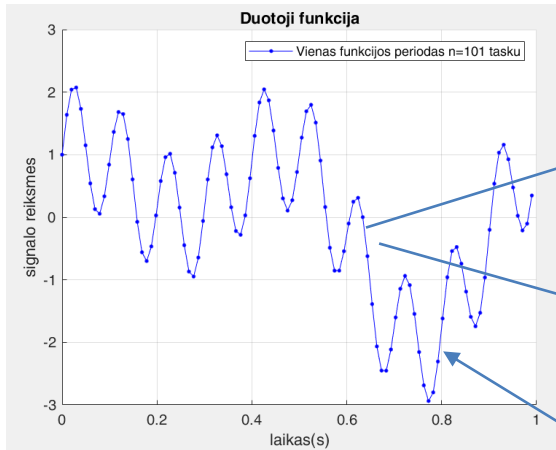
```
function rez=fnk(T,t)
    rez=sin(2*pi*t/T)
return
end
```



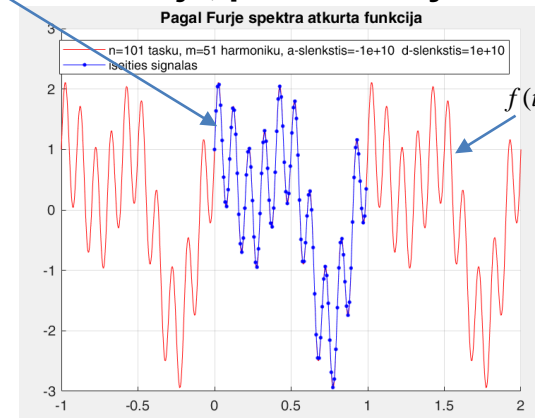
$$f(t) = a_0 + \sum_{k=1}^{m-1} A_k \cos\left(k \frac{2\pi t}{T} - \varphi_k\right)$$

# Furje aproksimacija, harmonikų amplitudės ir fazės, m=11

Duota taškų seka, vienas periodas, n=100



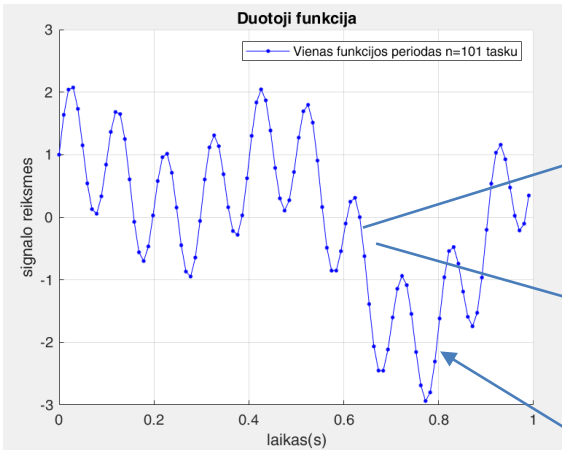
## Furje aproksimacija, priklausomybė nuo laiko, m=11



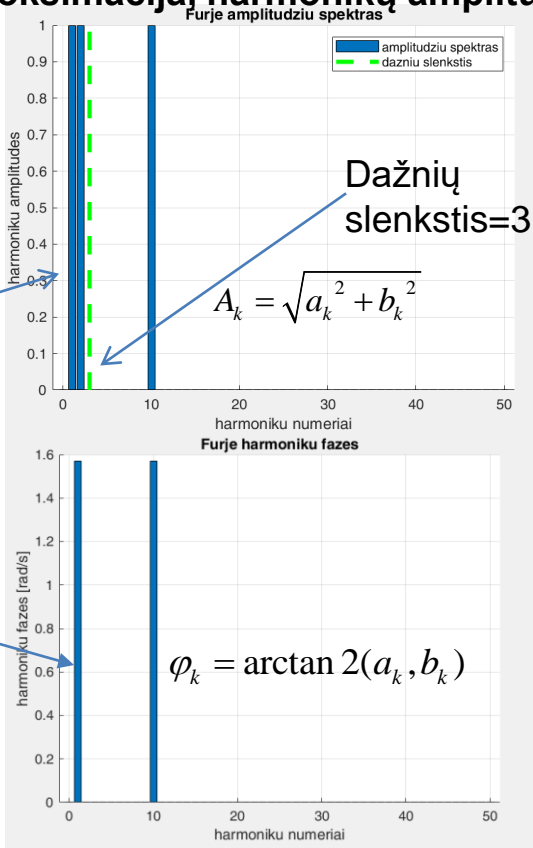
```
function rez=fnk(T,t)
    rez=sin(2*pi*t/T)+...
        cos(2*pi*2*t/T)+...
        cos(2*pi*10*t/T);
return
end
```

Signalas nufiltruotas, atmetant harmonines dedamąsias pagal dažnio slenksčio reikšmę

Duota taškų seka, vienas periodas, n=100



Furje aproksimacija, harmonikų amplitudės ir fazės, m=11

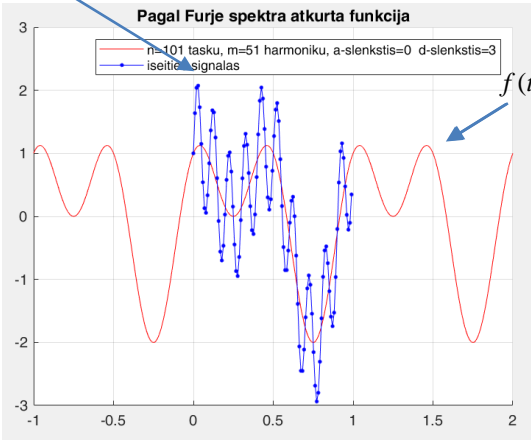


$$A_k = \sqrt{a_k^2 + b_k^2}$$

$$\varphi_k = \arctan 2(a_k, b_k)$$

Atkuriant naudojamos tik harmonikos, kurių dažnio numeris mažesnis už slenkstinį:

```
function rez=fnk(T,t)
    rez=sin(2*pi*t/T)+...
        cos(2*pi*2*t/T)+...
        cos(2*pi*10*t/T);
return
end
```

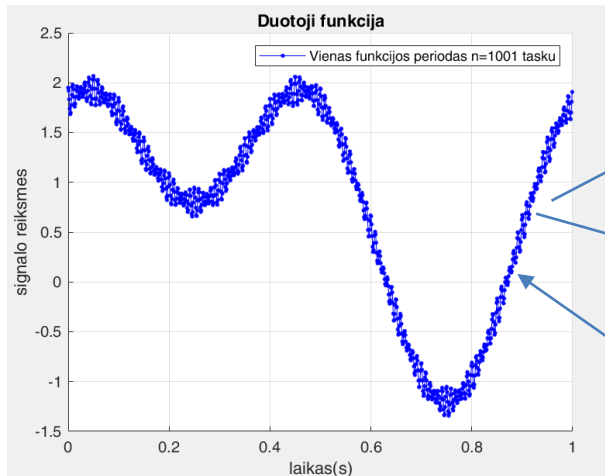


$$f(t) = a_0 + \sum_{k=1}^3 A_k \cos\left(k \frac{2\pi t}{T} - \varphi_k\right)$$

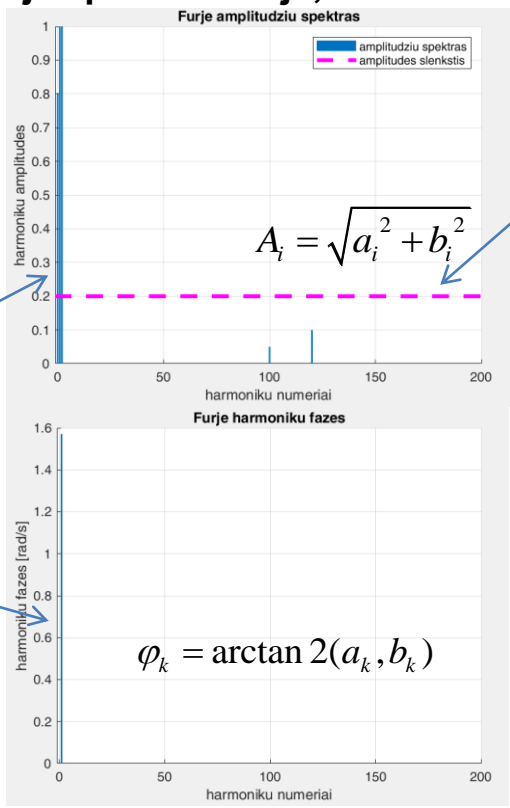


Signalas nufiltruotas, atmetant harmonines dedamąsias pagal **amplitudžių** slenksčio reikšmę

Signalas su “triukšmais”, n=1000



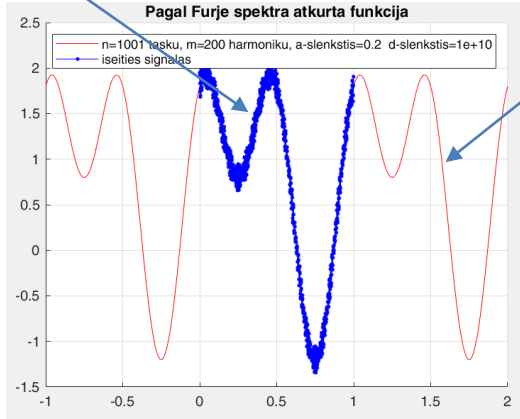
Furje aproksimacija, harmonikų amplitudės, m=200



Amplitudžių slenkstis=0.2

Atkuriant naudojamos tik harmonikos, kurių amplitudžių reikšmės didesnės už slenkstinę:

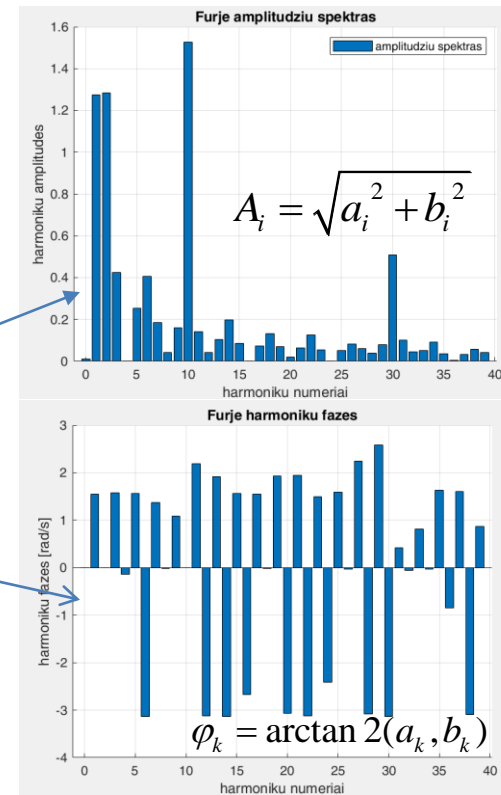
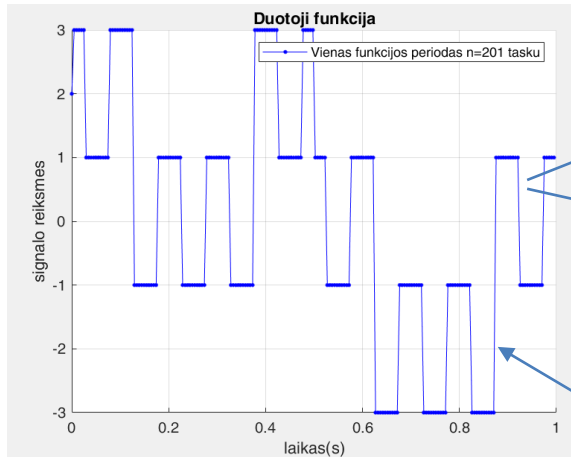
```
function rez=fnk(T,t)
    rez=sin(2*pi*t/T)+...
        cos(2*pi*2*t/T)+...
        0.1*cos(2*pi*100*t/T)+...
        0.05*cos(2*pi*120*t/T);
return
end
```



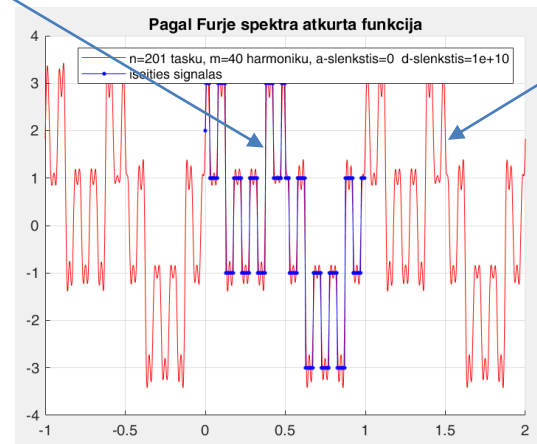
$$f(t) = a_0 + \sum_{k=1}^2 A_k \cos\left(k \frac{2\pi t}{T} - \varphi_k\right)$$

## Furje aproksimacija, harmonikų amplitudės, m=40

Duota taškų seka, vienas periodas, n=200



## Furje aproksimacija, priklausomybė nuo laiko, m=40



$$f(t) = a_0 + \sum_{k=1}^{m-1} A_k \cos\left(k \frac{2\pi t}{T} - \varphi_k\right)$$

```
function rez=fnk(T,t)
    rez=sign(sin(2*pi*t/T))+...
        sign(cos(2*pi*2*t/T))+...
        sign(cos(2*pi*10*t/T));

return
end
```

**DFT apibendrinimai**

- Diskrečioji Furje aproksimacija (dažnai vadinama *Diskrečiąja Furje transformacija, DFT*) yra vienas iš svarbiausių *signalų analizėje* taikomų metodų;
- DFT įgalina nustatyti, kokie *harmoninių virpesių dažniai ir amplitudės* sudaro signalą, kuris buvo išmatuotas ir pateiktas *priklausomybės nuo laiko pavidale*. Kartais sakoma, kad DFT pavaizduoja signalą *amplitudžių ir dažnių erdvėje*;
- Signalų vaizdavimas amplitudžių ir dažnių erdvėje ne tik palengvina jo fizikinį suvokimą, tačiau gali būti panaudotas *informacijai saugoti (archyvuoti) arba signalo požymiams rasti*. Amplitudžių ir dažnių saugojimui dažniausiai reikia žymiai mažiau atminties, nei saugant to paties signalo reikšmių priklausomybę nuo laiko

# **MATLAB ir Python funkcijos DFT apskaičiavimui sparčiuoju (FFT) algoritmu**

- Dažniausiai aproksimuojančių harmonikų skaičius  $m-1$  parenkamas toks, kad duotų signalo taškų skaičius ir bendras aproksimuojančių funkcijų skaičius sutaptų, t.y.,  $n=2m-1$ . Tai reiškia, kad sprendžiamas *interpoliavimo uždavinys*. Aproksimuojanti kreivė praeina per visus duotus signalo taškus, todėl prarandama mažiausiai informacijos;
- Mūsų aptartame DFT algoritme nereikia spręsti lygčių sistemos. Vis dėlto, koeficientų apskaičiavimui tenka atlikti apie  $(2m^2)$  daugybos ir sudėties veiksmų. Greitesnis, tačiau sudėtingesnis yra *sparčiosios Furje transformacijos (FFT)* algoritmas, kuris nagrinėjamas specializuotuose signalų analizės kursuose. Jis sumažina veiksmų skaičių iki  $(m \cdot \log_2 m)$ , be to, gaunamos mažesnės apvalinimo paklaidos

# MATLAB funkcijos *fft* taikymas diskrečiajai Furje aproksimacijai apskaičiuoti

Signalų reikšmės

Taškų skaičius

Harmonikų skaičius

$m = \text{floor}((n+1)/2)$

```
yyy=fft(fff)/n;  
spektras=abs(2*yyy(1:m)); % harmonikų amplitudės  
spektras(1)=spektras(1)/2; % pastovūs dedamoji  
  
spektras_c0=real(yyy(1)); % pastovūs dedamoji  
spektras_c=real(2*yyy(2:m)); % cos amplitudės  
spektras_s=-imag(2*yyy(2:m)); % sin amplitudės
```

*Pvz\_SMA\_9\_4\_fft.m*

*Pvz\_SMA\_9\_5\_fft\_ginput.m*

# Python funkcijos *fft* taikymas diskrečiajai Furje aproksimacijai apskaičiuoti

Signalo reikšmės

Taškų skaičius

Harmoniku skaičius

$m = \text{floor}((n+1)/2)$

`yyy=fft(fff)/n;`

```
spektras=np.abs(2*yyy[0:m-1]); # harmoniku amplitudes  
spektras[0]=spektras[0]/2;      # pastovi dedamoji
```

```
spektras_c0=np.real(yyy[0]);      # pastovi dedamoji  
spektras_c=np.real(2*yyy[1:m-1]); # cos amplitudes  
spektras_s=-np.imag(2*yyy[1:m-1]); # sin amplitudes
```

*Pvz\_SMA\_9\_4\_fft.py*



## SMA\_09\_02 Klausimai savikontrolei:

1. Kas yra diskretusis Furje aproksimavimas(DFA), kokios bazinės funkcijos naudojamos;
2. Kas yra bazinių funkcijų ortogonalumas integruojant ir sumuojant diskrečiuose taškuose;
3. Kaip apskaičiuojami DFA koeficientai;
4. Paaiškinkite, kokią informaciją apie tiriamą signalą teikia Furje harmonikų amplitudės. Ar pagal sumines harmonikų amplitudes galima vienareikšmiškai atkurti išeities signalą;
5. Kaip filtruojamas signalas pagal dažnius;
6. Kaip filtruojamas signalas pagal amplitudžių reikšmes